



250799



พิชิตร์พันโน ใจพิมาน และการพัฒนากระบวนการผลิตเม็ดมะม่วงหิมพันธุ์

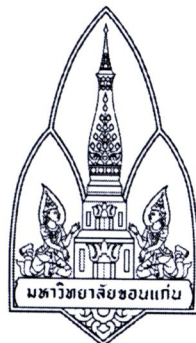
DESCRIPTION ISOTHERMS AND DEVELOPMENT OF *CENTELLA ASIATICA* (L.)
URBAN LEAF DRYING

นายปานะ พิริยานนท์กุล

วิทยานิพนธ์ปริญญาโทสาขาวิชารังสีแพทย์
มหาวิทยาลัยขอนแก่น

พ.ศ. 2554

b00256415



ดีซอร์พชันไอโซเทิร์ม และการพัฒนากระบวนการกำแห้งใบบัวบก

DESORPTION ISOTHERMS AND DEVELOPMENT OF *CENTELLA ASIATICA* (L.)

URBAN LEAF DRYING



นายวิทวัส ไตรรัตนากิจกุล

วิทยานิพนธ์ปริญญาวิทยาศาสตรมหาบัณฑิต
มหาวิทยาลัยขอนแก่น

พ.ศ. 2554

ดีชอร์พชันไอโซเกิร์น และการพัฒนากระบวนการทำแห้งในบัวบก

นายวิทวัส ไตรรัตนากิจกุล

วิทยานิพนธ์นี้เป็นส่วนหนึ่งของการศึกษาตามหลักสูตรปริญญาวิทยาศาสตรมหาบัณฑิต

สาขาวิชาเทคโนโลยีการอาหาร
บัณฑิตวิทยาลัย มหาวิทยาลัยขอนแก่น

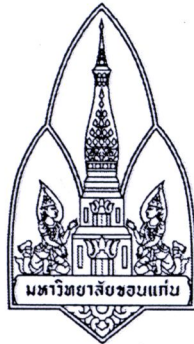
พ.ศ. 2554

**DESORPTION ISOTHERMS AND DEVELOPMENT OF *CENTELLA ASIATICA* (L.)
URBAN LEAF DRYING**

MR WITTAWAT TRIRATTANAPIKUL

**A THESIS SUBMITTED IN PARTIAL FULFILLMENT OF THE REQUIREMENTS
FOR THE DEGREE OF MASTER OF SCIENCE
IN FOOD TECHNOLOGY
GRADUATE SCHOOL KHON KAEN UNIVERSITY**

2011



ใบรับรองวิทยานิพนธ์
มหาวิทยาลัยขอนแก่น
หลักสูตร
วิทยาศาสตรมหาบัณฑิต
สาขาวิชาเทคโนโลยีการอาหาร

ชื่อวิทยานิพนธ์: ดีซอร์พชัน ไอโซเทริ่ม และการพัฒนากระบวนการทำแห้งในบัวง

ชื่อผู้กำกับวิทยานิพนธ์: นายวิทวัส ไตรรัตนากิจกุล

คณะกรรมการสอนวิทยานิพนธ์

รศ.ดร. บวรศักดิ์ ลินานนท์

ประธานกรรมการ

รศ.ดร. สิงหนาท พวงจันทน์ແคง

กรรมการ

พศ.ดร. ชนกร โภจนกร

กรรมการ

ดร.พิรยา โชคตินอม

กรรมการ

อาจารย์ที่ปรึกษาวิทยานิพนธ์:

I - H.~.

..... อาจารย์ที่ปรึกษา
(รองศาสตราจารย์ ดร. สิงหนาท พวงจันทน์ແคง)

.....

.....

(รองศาสตราจารย์ ดร. ลำปาง แม่นมาตย์)

(ผู้ช่วยศาสตราจารย์ ดร. เกษม นันทชัย)

คณบดีบัณฑิตวิทยาลัย

คณบดีคณนาโนโลยี

ลิขสิทธิ์ของมหาวิทยาลัยขอนแก่น

วิทวัส ไตรรัตนากิจกุล. 2554. ดีไซร์พชันไอโซเทิร์มและการพัฒนาระบวนการทำแห้งในบัวบก. วิทยานิพนธ์ปริญญาวิทยาศาสตรมหาบัณฑิต สาขาวิชาเทคโนโลยีการอาหาร บัณฑิตวิทยาลัยมหาวิทยาลัยขอนแก่น.

อาจารย์ที่ปรึกษาวิทยานิพนธ์: รองศาสตราจารย์ ดร.สิงหนาท พวงจันทน์ແ Deng

บทคัดย่อ

250799

250799

อุณหภูมิ 40 และ 50 องศาเซลเซียสเมื่อปริมาณฟินอลิกทั้งหมดที่คงอยู่มากที่สุดคือ 4.6323 ± 0.04 และ 4.4966 ± 0.08 มิลลิกรัมต่อกรัมน้ำหนักแห้งตามลำดับการทำแห้งในบัวกลวงด้วยเครื่องทำแห้งแบบลดความชื้นโดยใช้เครื่องสูบความร้อนที่อุณหภูมิ 40 องศาเซลเซียสเมื่อสมบัติการต้านออกซิเดชันสูงที่สุดคือมีร้อยละการยับยั่ง 87.5217 ± 0.55

Wittawat Trirattanapikul. 2011. **Desorption Isotherms and Development of *Centella Asiatica* (L.) Urban Leaf Drying.** Master of Science Thesis in Food Technology, Graduate School, Khon Kaen, University.

Thesis Advisor: Assoc. Prof. Dr. Singhanat Phoungchandang

ABSTRACT

250799

Maturity of Asiatic pennywort (*Centella asiatica* (L) Urban) leaves was investigated. The Asiatic pennywort leaves were divided into 3 groups according to their diameters. Moisture content, total phenolic content, antioxidant activity, color and crude fiber content were determined. It was found that the leaves with 4.6 to 5.5 and 5.6 to 6.5 cm diameters provided the highest total phenolic content and antioxidant activity. The adequate blanching of Asiatic pennywort leaves using peroxidase inactivity test was performed. It was found that blanched Asiatic pennywort leaves in microwave for 30 seconds could inactivate peroxidase and contained the highest total phenolic content and antioxidant activity. A non-linear regression program was applied to the experiment data at 20, 35 and 50 °C to fit with any of the four moisture sorption isotherm models, namely Modified Henderson, Modified Oswin, Modified Chung-Pfost and Modified Halsey models. The Modified Henderson model gave the best fit for both fresh and blanched Asiatic pennywort leaves in function $X_e = f(RH_e, T)$ and the Modified Chung-Pfost gave the best fit for both fresh and blanched Asiatic pennywort leaves in function $RH_e = f(X_e, T)$. Asiatic pennywort leaves were pretreated prior to drying at temperature 40, 50 and 60 °C by using tray and heat pump-dehumidified dryers. The Newton, Henderson and Pabis, Modified Page and Zero models were fitted to experimental drying data. The Modified Page model was found to be fit to the drying data. Dependence of the drying constant (K) on air temperature was described by the Arrhenius model. The drying exponent (N) was the exponential function of temperature and relative humidity of drying air. The effective moisture diffusivities from tray dryer were in the range of 3.6865×10^{-11} to $1.7332 \times 10^{-10} \text{ m}^2/\text{s}$ and those from heat pump-humidified dryer were in the range of 3.8951×10^{-11} to $1.8351 \times 10^{-10} \text{ m}^2/\text{s}$. Asiatic pennywort leaves dried at high temperature provided higher drying ratio than Asiatic pennywort leaves dried at low temperature. Types of pretreatment and dryer had significant effect on drying ratio of Asiatic pennywort leaves. Pre-drying treatment of Asiatic pennywort leaves by blanching had significant effect on ΔE^* of dried Asiatic pennywort leaves but pre-drying treatment of Asiatic pennywort leaves by blanching, dryer and drying air temperature had not significant effect on ΔE^* of rehydrated Asiatic pennywort leaves. Pre-drying treatment of Asiatic pennywort leaves by blanching, dryer and drying air temperature had significant effect on rehydration ratio. Blanched Asiatic pennywort leaves in microwave for 30 seconds dried at 40 and 50 °C by heat pump dehumidified dryer had highest total phenolic content. Blanched Asiatic pennywort leaves in microwave for 30 seconds dried at 40 °C by heat pump dehumidified dryer had highest antioxidant activity.

งานวิทยานิพนธ์นี้มอบส่วนดีเด่นพิการีและคณาจารย์

กิตติกรรมประกาศ

งานวิจัยครั้งนี้สำเร็จลุล่วงไปได้ด้วยดี เพราะได้รับความกรุณาและความเอาใจใส่อย่างยิ่งจาก รองศาสตราจารย์ ดร.สิงหนาท พวงจันทน์ແลง อาจารย์ที่ปรึกษาวิทยานิพนธ์ ซึ่งเคยให้ข้อมูล แนวความคิด คำปรึกษาที่เป็นประโยชน์อย่างยิ่งตลอดการดำเนินการวิจัย รวมถึงความรัก ความเมตตา และกำลังใจที่มีต่อศิษย์มา โดยตลอด

ขอกราบขอบพระคุณคณาจารย์ภาควิชาเทคโนโลยีอาหาร คณะเทคโนโลยี มหาวิทยาลัยขอนแก่นทุกท่าน ที่กรุณาประสิทธิ์ประสาทวิชาความรู้ และประสบการณ์อันมีค่าแก่ศิษย์

ขอขอบคุณศูนย์นวัตกรรมเทคโนโลยีหลังการเก็บเกี่ยว หน่วยงานร่วมมหาวิทยาลัยขอนแก่น และศูนย์วิจัยเครื่องจักรกลการเกษตรและวิทยาการหลังการเก็บเกี่ยว มหาวิทยาลัยขอนแก่น ที่ให้ทุนสนับสนุนในงานวิจัยครั้งนี้

ขอขอบพระคุณเจ้าหน้าที่ นักวิทยาศาสตร์และบุคลากรประจำภาควิชาเทคโนโลยีอาหารทุกท่าน ที่เคยให้ความช่วยเหลือในการศึกษา และวิจัยครั้งนี้ จนประสบผลสำเร็จไปได้ด้วยดี

ท้ายสุดนี้ ผู้วิจัยด้วยขอกราบขอบพระคุณบิความารดา และเพื่อนๆทุกคน ที่ให้การสนับสนุนและเป็นกำลังใจให้ผู้วิจัยตลอดมา ซึ่งมีส่วนช่วยให้วิทยานิพนธ์ฉบับนี้สำเร็จลุล่วงได้ด้วยดี ผู้วิจัยขอระลึกถึง และขอบพระคุณไว้ ณ โอกาสหนึ่งด้วย

วิทวัส ไตรรัตนากิจกุล

สารบัญ

หน้า

บทคัดย่อภาษาไทย	๑
บทคัดย่อภาษาอังกฤษ	๒
คำอุทิศ	๓
กิตติกรรมประกาศ	๔
สารบัญตาราง	๕
สารบัญภาพ	๖
บทที่ 1 บทนำ	๑
1. ที่มาและความสำคัญของปัญหา	๑
2. วัตถุประสงค์	๒
3. ขอบเขตงานวิจัย	๒
4. ข้อคดีงบประมาณ	๒
5. สถานที่ทำการวิจัย	๓
6. ประโยชน์ที่คาดว่าจะได้รับ	๓
บทที่ 2 วรรณกรรมและงานวิจัยที่เกี่ยวข้อง	๔
1. บัวบก	๔
2. สารต้านออกซิเดชันและวีวิเคราะห์	๘
3. การลวก (Blanching)	๑๐
4. ทฤษฎีการทำแห้ง	๑๐
5. วอเตอร์แอคติวิตี้ (Water activity, a_w)	๑๒
6. ชอร์พชั่น ไอโซเทิร์ม	๑๔
7. เครื่องทำแห้ง	๑๗
8. แบบจำลองการทำแห้ง	๒๑
บทที่ 3 วิธีดำเนินการวิจัย	๒๔
1. วัสดุ อุปกรณ์และสารเคมี	๒๔
2. การศึกษาความแก่อ่อนของใบบัวบกที่เหมาะสมที่สุด	๒๕
3. การศึกษาระยะเวลาขั้นตอนกิจกรรมเอนไซม์ Peroxidase ในใบบัวบก	๒๕
4. การศึกษาชอร์พชั่น ไอโซเทิร์มของใบบัวบกสดและใบบัวบกที่ผ่านการทำลวก	๒๖
5. การศึกษาแบบจำลองการทำแห้ง	๒๗
6. การศึกษาสมบัติทางกายภาพและคุณสมบัติทางเคมีของใบบัวบกหลังการทำแห้ง	๒๗

สารบัญ(ต่อ)

หน้า

บทที่ 4	ผลการวิจัยและอภิปรายผล	31
	1. การศึกษาความแก่ อ่อนของใบบัวบก	31
	2. การศึกษาระยะเวลาขั้นบังคับกรรมเอนไซม์ Peroxidase ในใบบัวบก	31
	3. การศึกษาดีซอร์ฟชัน ไอโซเทิร์ม	32
	4. การศึกษาแบบจำลองการทำแห้ง	38
	5. การศึกษาสมบัติทางกายภาพและคุณสมบัติทางเคมีของใบบัวบกหลังการทำแห้ง	49
บทที่ 5	สรุปผลการวิจัยและข้อเสนอแนะ	57
เอกสารอ้างอิง		59
ภาคผนวก		64
	ภาคผนวก ก การคำนวณองค์ประกอบทางเคมีการวิเคราะห์ระยะเวลาขั้นบังคับกรรมเอนไซม์เปอร์ออกซิเดสการวิเคราะห์ปริมาณฟีโนลิกทั้งหมดและสมบัติการด้านออกซิเดชัน	65
	ภาคผนวก ข ข้อมูลการวิจัย	73
	ภาคผนวก ค ผลการวิเคราะห์ข้อมูลทางสถิติ	83
	ภาคผนวก จ ภาพตัวอย่างใบบัวบกสายพันธุ์สารคามก้านเขียว	107
ประวัติผู้เขียน		109

สารบัญตาราง

หน้า

ตารางที่ 2.1	คุณค่าทางอาหารของใบบัวบกสด 100 กรัม	5
ตารางที่ 4.1	ความสัมพันธ์ของปริมาณความชื้นปริมาณฟินอลิกทั้งหมดสมบัติการด้านออกซิเดชัน ค่าสีและปริมาณเต้านไขของใบบัวบก	32
ตารางที่ 4.2	ผลของวิธีและเวลาที่ใช้ในการลวกใบบัวบกต่อปริมาณฟินอลิกทั้งหมด และสมบัติการด้านออกซิเดชัน	32
ตารางที่ 4.3	ผลของวิธีและเวลาที่ใช้ในการลวกใบบัวบกต่อเอนไซม์เปอร์ออกซิเดต	33
ตารางที่ 4.4	แบบจำลองดีซอร์พชันไอโซเทริมของใบบัวบก	34
ตารางที่ 4.5	ค่าคงที่ของแบบจำลองดีซอร์พชันไอโซเทริมของใบบัวบกสดและลวก	35
ตารางที่ 4.6	ปริมาณความชื้นสัมพัทธ์เฉลี่ยและค่าปริมาณความชื้นสมดุลที่ได้จากการ แทนค่าในแบบจำลอง Modified Henderson	38
ตารางที่ 4.7	ค่าคงที่ของแบบจำลองการทำแห้งใบบัวบกโดยใช้เครื่องทำแห้งแบบถูก และเครื่องทำแห้งแบบลดความชื้น โดยใช้เครื่องสูบความร้อน	39
ตารางที่ 4.8	ความสัมพันธ์ของค่าคงที่การทำแห้ง (K, min^{-1}) ของใบบัวบกที่ไม่ผ่านการลวก และใบบัวบกลวกด้วยเครื่องทำแห้งแบบถูกและเครื่องทำแห้งแบบลดความชื้น โดยใช้เครื่องสูบความร้อน	45
ตารางที่ 4.9	แบบจำลอง Arrhenius ของใบบัวบก	46
ตารางที่ 4.10	ความสัมพันธ์ของค่าคงที่ N (Drying exponent) ในแบบจำลอง Modified Page กับอุณหภูมิและปริมาณความชื้นสัมพัทธ์ของอากาศที่ใช้ในการทำแห้ง	46
ตารางที่ 4.11	แบบจำลอง Rapusas and Driscoll ของใบบัวบก	47
ตารางที่ 4.12	ค่าสัมประสิทธิ์การแพร่ความชื้นของใบบัวบกที่ไม่ผ่านการลวกและใบบัวบกลวก ที่ทำแห้งด้วยเครื่องทำแห้งแบบถูกและเครื่องทำแห้งแบบลดความชื้น โดยใช้เครื่อง สูบความร้อน	48
ตารางที่ 4.13	เวลาที่ใช้ในการทำแห้ง	48
ตารางที่ 4.14	ผลของอุณหภูมิในการทำแห้งต่ออัตราส่วนการทำแห้งใบบัวบก	50
ตารางที่ 4.15	ผลของการเตรียมตัวอย่างก่อนการทำแห้งและเครื่องทำแห้งค่าอัตราส่วนการทำแห้ง ใบบัวบก	50
ตารางที่ 4.16	ผลของการเตรียมตัวอย่างก่อนการทำแห้งต่อค่า $L^* a^* b^*$ และ ΔE^* ของใบบัวบกหลังการทำแห้ง	51
ตารางที่ 4.17	ผลของอุณหภูมิในการทำแห้งต่อค่า L^* ของใบบัวบกหลังการทำแห้ง	51
ตารางที่ 4.18	ผลของการเตรียมตัวอย่างก่อนการทำแห้งต่อค่า L^* ของใบบัวบกหลังการดูดซึมน้ำกลับคืน	52

สารบัญตาราง (ต่อ)

หน้า

ตารางที่ 4.19	ผลของการเตรียมตัวอย่างก่อนการทำแท้ห้องโดยการลอกผ่านการทำแท้ห้องโดยใช้เครื่องทำแท้ห้องแบบดาดและแบบลดความชื้นโดยใช้เครื่องสูบความร้อนและอุณหภูมิในการทำแท้ห้องต่อค่า ΔE^* ของใบบัวบกหลังการคุณน้ำกลับคืน	52
ตารางที่ 4.20	ผลของการเตรียมตัวอย่างก่อนการทำแท้ห้องต่ออัตราส่วนการคุณน้ำกลับคืนของใบบัวบกแห้ง	53
ตารางที่ 4.21	ผลของเครื่องทำแท้ห้องต่ออัตราส่วนการคุณน้ำกลับคืนของใบบัวบกแห้ง	53
ตารางที่ 4.22	ผลของอุณหภูมิในการทำแท้ห้องต่ออัตราส่วนการคุณน้ำกลับคืนของใบบัวบกแห้ง	53
ตารางที่ 4.23	ปริมาณพินอlikของใบบัวบกที่ผ่านการทำแท้ห้อง (มิลลิกรัมต่อกรัมน้ำหนักแห้ง)	55
ตารางที่ 4.24	คุณสมบัติการเป็นสารต้านออกซิเดชันของใบบัวบกที่ผ่านการทำแท้ห้อง	56
ตารางที่ ก. 1	ระดับความเข้มข้นของกรดแกแลคิก	69
ตารางที่ ข. 1	ค่าความชื้นสัมพัทธ์เฉลี่ยของอากาศที่อุณหภูมิต่างๆในการสร้างดีชอร์พชันไอโซเทร์มสำหรับใบบัวบกและใบบัวคลอก	74
ตารางที่ ข. 2	ค่าเฉลี่ยของอัตราส่วนความชื้นของใบบัวบกที่ไม่ผ่านการลວกระหว่างการทำแท้ห้องที่อุณหภูมิ 40 องศาเซลเซียสโดยใช้เครื่องทำแท้ห้องแบบดาด	74
ตารางที่ ข. 3	ค่าเฉลี่ยของอัตราส่วนความชื้นของใบบัวบกที่ไม่ผ่านการลວกระหว่างการทำแท้ห้องที่อุณหภูมิ 50 องศาเซลเซียสโดยใช้เครื่องทำแท้ห้องแบบดาด	75
ตารางที่ ข. 4	ค่าเฉลี่ยของอัตราส่วนความชื้นของใบบัวบกที่ไม่ผ่านการลວกระหว่างการทำแท้ห้องที่อุณหภูมิ 60 องศาเซลเซียสโดยใช้เครื่องทำแท้ห้องแบบดาด	75
ตารางที่ ข. 5	ค่าเฉลี่ยของอัตราส่วนความชื้นของใบบัวบกที่อุณหภูมิ 40 องศาเซลเซียสโดยใช้เครื่องทำแท้ห้องแบบดาด	76
ตารางที่ ข. 6	ค่าเฉลี่ยของอัตราส่วนความชื้นของใบบัวบกที่อุณหภูมิ 50 องศาเซลเซียสโดยใช้เครื่องทำแท้ห้องแบบดาด	76
ตารางที่ ข. 7	ค่าเฉลี่ยของอัตราส่วนความชื้นของใบบัวบกที่อุณหภูมิ 60 องศาเซลเซียสโดยใช้เครื่องทำแท้ห้องแบบดาด	77
ตารางที่ ข. 8	ค่าเฉลี่ยของอัตราส่วนความชื้นของใบบัวบกที่ไม่ผ่านการลວกระหว่างการทำแท้ห้องที่อุณหภูมิ 40 องศาเซลเซียสโดยใช้เครื่องทำแท้ห้องแบบลดความชื้นโดยใช้เครื่องสูบความร้อน	77
ตารางที่ ข. 9	ค่าเฉลี่ยของอัตราส่วนความชื้นของใบบัวบกที่ไม่ผ่านการลວกระหว่างการทำแท้ห้องที่อุณหภูมิ 50 องศาเซลเซียสโดยใช้เครื่องทำแท้ห้องแบบลดความชื้นโดยใช้เครื่องสูบความร้อน	78
ตารางที่ ข. 10	ค่าเฉลี่ยของอัตราส่วนความชื้นของใบบัวบกที่ไม่ผ่านการลວกระหว่างการทำแท้ห้องที่อุณหภูมิ 60 องศาเซลเซียสโดยใช้เครื่องทำแท้ห้องแบบลดความชื้นโดยใช้เครื่องสูบความร้อน	78

สารบัญตาราง (ต่อ)

หน้า

ตารางที่ ข. 11 ค่าเฉลี่ยของอัตราส่วนความชื้นของในบัวงกลวกระหว่างการทำแห้งที่อุณหภูมิ 40 องศาเซลเซียสโดยใช้เครื่องทำแห้งแบบลดความชื้นโดยใช้เครื่องสูบความร้อน	79
ตารางที่ ข. 12 ค่าเฉลี่ยของอัตราส่วนความชื้นของในบัวงกลวกระหว่างการทำแห้งที่อุณหภูมิ 50 องศาเซลเซียสโดยใช้เครื่องทำแห้งแบบลดความชื้นโดยใช้เครื่องสูบความร้อน	79
ตารางที่ ข. 13 ค่าเฉลี่ยของอัตราส่วนความชื้นของในบัวงกลวกระหว่างการทำแห้งที่อุณหภูมิ 60 องศาเซลเซียสโดยใช้เครื่องทำแห้งแบบลดความชื้นโดยใช้เครื่องสูบความร้อน	80
ตารางที่ ข. 14 อัตราส่วนการทำแห้ง (Drying ratio)	80
ตารางที่ ข. 15 อัตราส่วนการดูดน้ำกลับคืน (Rehydration ratio)	81
ตารางที่ ข. 16 ค่าสีเฉลี่ยของในบัวงกลังทำแห้งและในบัวงกลังการดูดน้ำกลับคืน	82
ตารางที่ ค. 1 ผลการวิเคราะห์ความแตกต่างของความชื้นของในบัวงกด้วย Duncan's new multiple range test	84
ตารางที่ ค. 2 ผลการวิเคราะห์ความแตกต่างของปริมาณฟินอลิกทั้งหมดของในบัวงกด้วย Duncan's new multiple range test	84
ตารางที่ ค. 3 ผลการวิเคราะห์ความแตกต่างของสมบัติการต้านออกซิเดชันของในบัวงกด้วย Duncan's new multiple range test	84
ตารางที่ ค. 4 ผลการวิเคราะห์ความแตกต่างของค่าสีL* ของในบัวงกด้วย Duncan's new multiple range test	85
ตารางที่ ค. 5 ผลการวิเคราะห์ความแตกต่างของค่าสีa* ของในบัวงกด้วย Duncan's new multiple range test	85
ตารางที่ ค. 6 ผลการวิเคราะห์ความแตกต่างของค่าสีb* ของในบัวงกด้วย Duncan's new multiple range test	85
ตารางที่ ค. 7 ผลการวิเคราะห์ความแตกต่างของปริมาณเส้นใยของในบัวงกด้วย Duncan's new multiple range test	86
ตารางที่ ค. 8 ผลการวิเคราะห์ความแปรปรวนของปริมาณฟินอลิกทั้งหมดของในบัวงกที่ผ่านการลวกด้วยวิธีและเวลาต่างๆ	86
ตารางที่ ค. 9 ผลการวิเคราะห์ความแตกต่างของปริมาณฟินอลิกทั้งหมดของในบัวงกที่ผ่านการลวกด้วยวิธีและเวลาต่างๆด้วย Duncan's new multiple range test	87
ตารางที่ ค. 10 ผลการวิเคราะห์ความแปรปรวนของสมบัติการต้านออกซิเดชันของในบัวงกที่ผ่านการลวกด้วยวิธีและเวลาต่างๆ	87

สารบัญตาราง (ต่อ)

หน้า

ตารางที่ ค. 11 ผลการวิเคราะห์ความแตกต่างของสมบัติการต้านออกซิเดชันของในบัวงกที่ผ่านการลอกด้วยวิธีและเวลาต่างๆด้วย Duncan's new multiple range test	88
ตารางที่ ค. 12 การหาค่าคงที่ของแบบจำลองดีซอร์พชัน ไอโซเทริมของในบัวงกดด (X _c =f(RH _c , T)) ด้วยแบบจำลอง Modified Henderson	88
ตารางที่ ค. 13 การหาค่าคงที่ของแบบจำลองดีซอร์พชัน ไอโซเทริมของในบัวงกดด (RH _c =f(X _c , T)) ด้วยแบบจำลอง Modified Henderson	89
ตารางที่ ค. 14 การหาค่าคงที่ของแบบจำลองดีซอร์พชัน ไอโซเทริมของในบัวงกดด (X _c =f(RH _c , T)) ด้วยแบบจำลอง Modified Oswin	89
ตารางที่ ค. 15 การหาค่าคงที่ของแบบจำลองดีซอร์พชัน ไอโซเทริมของในบัวงกดด (RH _c =f(X _c , T)) ด้วยแบบจำลอง Modified Oswin	90
ตารางที่ ค. 16 การหาค่าคงที่ของแบบจำลองดีซอร์พชัน ไอโซเทริมของในบัวงกดด (X _c =f(RH _c , T)) ด้วยแบบจำลอง Modified Chung-Pfost	90
ตารางที่ ค. 17 การหาค่าคงที่ของแบบจำลองดีซอร์พชัน ไอโซเทริมของในบัวงกดด (RH _c =f(X _c , T)) ด้วยแบบจำลอง Modified Chung-Pfost	91
ตารางที่ ค. 18 การหาค่าคงที่ของแบบจำลองดีซอร์พชัน ไอโซเทริมของในบัวงกดด (X _c =f(RH _c , T)) ด้วยแบบจำลอง Modified Halsey	91
ตารางที่ ค. 19 การหาค่าคงที่ของแบบจำลองดีซอร์พชัน ไอโซเทริมของในบัวงกดด (RH _c =f(X _c , T)) ด้วยแบบจำลอง Modified Halsey	92
ตารางที่ ค. 20 การหาค่าคงที่ของแบบจำลองดีซอร์พชัน ไอโซเทริมของในบัวงกลวง (X _c =f(RH _c , T)) ด้วยแบบจำลอง Modified Henderson	92
ตารางที่ ค. 21 การหาค่าคงที่ของแบบจำลองดีซอร์พชัน ไอโซเทริมของในบัวงกลวง (RH _c =f(X _c , T)) ด้วยแบบจำลอง Modified Henderson	93
ตารางที่ ค. 22 การหาค่าคงที่ของแบบจำลองดีซอร์พชัน ไอโซเทริมของในบัวงกลวง (X _c =f(RH _c , T)) ด้วยแบบจำลอง Modified Oswin	93
ตารางที่ ค. 23 การหาค่าคงที่ของแบบจำลองดีซอร์พชัน ไอโซเทริมของในบัวงกลวง (RH _c =f(X _c , T)) ด้วยแบบจำลอง Modified Oswin	94
ตารางที่ ค. 24 การหาค่าคงที่ของแบบจำลองดีซอร์พชัน ไอโซเทริมของในบัวงกลวง (X _c =f(RH _c , T)) ด้วยแบบจำลอง Modified Chung-Pfost	94
ตารางที่ ค. 25 การหาค่าคงที่ของแบบจำลองดีซอร์พชัน ไอโซเทริมของในบัวงกลวง (RH _c =f(X _c , T)) ด้วยแบบจำลอง Modified Chung-Pfost	95

สารบัญตาราง (ต่อ)

หน้า

ตารางที่ ค. 26 การหาค่าคงที่ของแบบจำลองคีชอร์พชัน ไอโซเทิร์มของในบัวบกลวก ($X_c = f(RH_c, T)$) ด้วยแบบจำลอง Modified Halsey	95
ตารางที่ ค. 27 การหาค่าคงที่ของแบบจำลองคีชอร์พชัน ไอโซเทิร์มของในบัวบกลวก ($RH_c = f(X_c, T)$) ด้วยแบบจำลอง Modified Halsey	96
ตารางที่ ค. 28 ผลการวิเคราะห์ความแปรปรวนของอัตราส่วนการทำแห้งของในบัวบกลวก ที่ผ่านการทำแห้งที่สภาวะต่างๆ	96
ตารางที่ ค. 29 ผลการวิเคราะห์ความแตกต่างของอัตราส่วนการทำแห้งของในบัวบกลวกเมื่อ [*] พิจารณาเฉพาะอิทธิพลของอุณหภูมิในการทำแห้งด้วย Duncan's new multiple range test	97
ตารางที่ ค. 30 ผลการวิเคราะห์ความแตกต่างของอัตราส่วนการทำแห้งของในบัวบกลวกเมื่อ [*] พิจารณาอิทธิพลร่วมของการเตรียมตัวอย่างก่อนการทำแห้งและเครื่องทำแห้งด้วย Duncan's new multiple range test	97
ตารางที่ ค. 31 ผลการวิเคราะห์ความแปรปรวนของค่า L^* ของในบัวบกลวกที่ผ่านการทำแห้งที่สภาวะต่างๆ	98
ตารางที่ ค. 32 ผลการวิเคราะห์ความแตกต่างของค่า L^* ของในบัวบกลวกหลังการทำแห้งเมื่อ [*] พิจารณาเฉพาะอิทธิพลของอุณหภูมิในการทำแห้งด้วย Duncan's new multiple range test	98
ตารางที่ ค. 33 ผลการวิเคราะห์ความแปรปรวนของค่า a^* ของในบัวบกลวกที่ผ่านการทำแห้งที่สภาวะต่างๆ	99
ตารางที่ ค. 34 ผลการวิเคราะห์ความแปรปรวนของค่า b^* ของในบัวบกลวกที่ผ่านการทำแห้งที่สภาวะต่างๆ	99
ตารางที่ ค. 35 ผลการวิเคราะห์ความแปรปรวนของค่า ΔE^* ของในบัวบกลวกที่ผ่านการทำแห้งที่สภาวะต่างๆ	100
ตารางที่ ค. 36 ผลการวิเคราะห์ความแปรปรวนของค่า L^* ของในบัวบกลวกหลังการคุณน้ำกัดลับคืน	100
ตารางที่ ค. 37 ผลการวิเคราะห์ความแปรปรวนของค่า a^* ของในบัวบกลวกหลังการคุณน้ำกัดลับคืน	101
ตารางที่ ค. 38 ผลการวิเคราะห์ความแปรปรวนของค่า b^* ของในบัวบกลวกหลังการคุณน้ำกัดลับคืน	101
ตารางที่ ค. 39 ผลการวิเคราะห์ความแปรปรวนของค่า ΔE^* ของในบัวบกลวกหลังการคุณน้ำกัดลับคืน	102
ตารางที่ ค. 40 ผลการวิเคราะห์ความแปรปรวนของอัตราส่วนการคืนรูปของในบัวบกลวกที่ผ่าน [*] การทำแห้งที่สภาวะต่างๆ	102
ตารางที่ ค. 41 ผลการวิเคราะห์ความแตกต่างของอัตราส่วนการคืนรูปของในบัวบกลวกหลังการทำแห้ง เมื่อพิจารณาเฉพาะอิทธิพลของอุณหภูมิในการทำแห้งด้วย Duncan's new multiple range test	103
ตารางที่ ค. 42 ผลการวิเคราะห์ความแปรปรวนของปริมาณฟินอลิกทั้งหมดของในบัวบกลวก ที่ผ่านการทำแห้งที่สภาวะต่างๆ	103
ตารางที่ ค. 43 ผลการวิเคราะห์ความแตกต่างของปริมาณฟินอลิกทั้งหมดของในบัวบกลวก หลังการทำแห้งเมื่อพิจารณาอิทธิพลร่วมของการเตรียมตัวอย่างก่อนการทำแห้ง เครื่องทำแห้งและอุณหภูมิในการทำแห้งด้วย Duncan's new multiple range test	104

สารบัญตาราง (ต่อ)

หน้า

ตารางที่ ค. 44 ผลการวิเคราะห์ความแปรปรวนของสมบัติการต้านออกซิเดชันในบัวบก ที่ผ่านการทำแห้งที่สภาวะต่างๆ	105
ตารางที่ ค. 45 ผลการวิเคราะห์ความแตกต่างของสมบัติการต้านออกซิเดชันของใบบัวบก หลังการทำแห้งเมื่อพิจารณาอิทธิพลร่วมของการเตรียมตัวอย่างก่อนการทำแห้ง เครื่องทำแห้งและอุณหภูมิในการทำแห้งด้วย Duncan's new multiple range test	106

สารบัญภาพ

หน้า

ภาพที่ 2.1	โครงสร้างของสารสำคัญในบัวบก (เอเชียติโคไซด์และมาเดคาสโซไซด์)	6
ภาพที่ 2.2	เส้นโค้งการเปลี่ยนแปลงของอัตราการทำแห้งของอาหาร	12
ภาพที่ 2.3	อัตราเร็วของปฏิกิริยาที่เกิดขึ้นในอาหารและการเจริญของจุลินทรีย์ที่ผัน แปรตามค่า a_w ที่อุณหภูมิ 20 องศาเซลเซียส	14
ภาพที่ 2.4	กราฟ Sorption isotherms ที่แสดงความสัมพันธ์ระหว่างความชื้นในอากาศ กับความชื้นสัมพัทธ์ของอากาศหรือกับ a_w	14
ภาพที่ 2.5	เครื่องทำแห้งแบบลดความชื้นโดยใช้เครื่องสูบความร้อน	18
ภาพที่ 2.6	ระบบเครื่องเย็น	19
ภาพที่ 4.1	กราฟดีซอร์พชั่น ไอโซเทิร์มของใบบัวบกสดเปรียบเทียบค่าที่ได้จากการทดลอง และค่าที่ได้จากการทำนายด้วยแบบจำลอง Modified Henderson ในรูปพังก์ชั่น $X_e = f(RH_e, T)$	36
ภาพที่ 4.2	กราฟดีซอร์พชั่น ไอโซเทิร์มของใบบัวบกสดเปรียบเทียบค่าที่ได้จากการทดลอง และค่าที่ได้จากการทำนายด้วยแบบจำลอง Modified Chung-Pfost ในรูปพังก์ชั่น $RH_e = f(X_e, T)$	36
ภาพที่ 4.3	กราฟดีซอร์พชั่น ไอโซเทิร์มของใบบัวบกสดเปรียบเทียบค่าที่ได้จากการทดลอง และค่าที่ได้จากการทำนายด้วยแบบจำลอง Modified Henderson ในรูปพังก์ชั่น $X_e = f(RH_e, T)$	37
ภาพที่ 4.4	กราฟดีซอร์พชั่น ไอโซเทิร์มของใบบัวบกสดเปรียบเทียบค่าที่ได้จากการทดลอง และค่าที่ได้จากการทำนายด้วยแบบจำลอง Modified Chung-Pfost ในรูปพังก์ชั่น $RH_e = f(X_e, T)$	37
ภาพที่ 4.5	อัตราส่วนความชื้นของใบบัวบกที่ไม่ผ่านการลวกที่ผ่านการทำแห้งด้วยเครื่องทำแห้ง แบบดาดเทียบกับค่าที่ได้จากการทำนายด้วยแบบจำลอง Modified Page ที่อุณหภูมิ 40 50 และ 60 องศาเซลเซียส	40
ภาพที่ 4.6	อัตราส่วนความชื้นของใบบัวบกที่ไม่ผ่านการลวกที่ผ่านการทำแห้งด้วยเครื่องทำแห้ง แบบลดความชื้น โดยใช้เครื่องสูบความร้อนเทียบกับค่าที่ได้จากการทำนายด้วยแบบ จำลอง Modified Page ที่อุณหภูมิ 40 50 และ 60 องศาเซลเซียส	41
ภาพที่ 4.7	อัตราส่วนความชื้นของใบบัวบกที่ผ่านการทำแห้งด้วยเครื่องทำแห้งแบบดาด เทียบกับค่าที่ได้จากการทำนายด้วยแบบจำลอง Modified Page ที่อุณหภูมิ 40 50 และ 60 องศาเซลเซียส	41
ภาพที่ 4.8	อัตราส่วนความชื้นของใบบัวบกที่ผ่านการทำแห้งด้วยเครื่องทำแห้งแบบลดความชื้น โดยใช้เครื่องสูบความร้อนเทียบกับค่าที่ได้จากการทำนายด้วยแบบจำลอง Modified Page ที่อุณหภูมิ 40 50 และ 60 องศาเซลเซียส	42
ภาพที่ 4.9	อัตราการทำแห้งใบบัวบกที่ไม่ผ่านการลวกทำแห้งด้วยเครื่องทำแห้งแบบดาด ที่อุณหภูมิ 40 50 และ 60 องศาเซลเซียส	43

สารบัญภาพ (ต่อ)

หน้า

ภาพที่ 4.10 อัตราการทำแท็งในบัวกลวกรทำแท็งด้วยเครื่องทำแท็งแบบถอดที่อุณหภูมิ 40 50 และ 60 องศาเซลเซียส	43
ภาพที่ 4.11 อัตราการทำแท็งในบัวกลวกรที่ไม่ผ่านการลอกทำแท็งด้วยเครื่องทำแท็งแบบลดความชื้น โดยใช้เครื่องสูบความร้อนที่อุณหภูมิ 40 50 และ 60 องศาเซลเซียส	44
ภาพที่ 4.12 อัตราการทำแท็งในบัวกลวกรทำแท็งด้วยเครื่องทำแท็งแบบลดความชื้นโดยใช้เครื่องสูบความร้อนที่อุณหภูมิ 40 50 และ 60 องศาเซลเซียส	44
ภาพที่ ก. 1 กราฟนำมาตรฐานของสารประกอบกรดแกลลิก	70
ภาพที่ จ. 1 บัวบกสายพันธุ์สารคามก้านเขียว	108